

ستزرو مشخصه یابی ریزساختاری نانو کامپوزیت سه تایی $\text{SiO}_2\text{-Al}_2\text{O}_3\text{-ZnO}$ تولید شده به روش سل-ژل

اعظم حیدری^{۱*}، مجید جعفری^۲، علی صفار تلواری^۲

۱- کارشناس ارشد، باشگاه پژوهشگران جوان و نخبگان، واحد نجف آباد، دانشگاه آزاد اسلامی، نجف آباد، اصفهان، ایران

۲- استادیار، دانشکده مهندسی مواد، واحد نجف آباد، دانشگاه آزاد اسلامی، نجف آباد، اصفهان، ایران

*E.Heidary_2009@yahoo.com

(تاریخ دریافت: ۹۱/۰۸/۰۶، تاریخ پذیرش: ۹۱/۱۱/۰۱)

چکیده

در این تحقیق اکسید روی (ZnO) به عنوان کاتالیست با هدف افزایش سطح ویژه روی پایه آلومینا-سیلیکا ($\text{Al}_2\text{O}_3\text{-SiO}_2$) با استفاده از واکنش همزمان نیترات روی ($\text{Zn}(\text{NO}_3)_2\cdot 6\text{H}_2\text{O}$)، ترااتیل اورتوسیلیکات (TEOS) و نیترات آلومینیوم ($\text{Al}(\text{NO}_3)_3\cdot 9\text{H}_2\text{O}$) به روش سل-ژل ستزرو شد. کامپوزیت‌های مورد نظر با درصد وزنی ۳۰، ۴۰، ۵۰ و ۱۰۰ نسبت به اکسید روی و با نسبت درصد وزنی مساوی از آلومینا به سیلیکا ستزرو شد. ساختار کامپوزیت‌های تهیه شده به وسیله مطالعات XRD، SEM، FESEM و BET مشخصه یابی شد. نتایج نشان داد که فاز کریستالی اکسید روی در زمینه آمورف آلومینا-سیلیس تشکیل و پراکنده شده است. وجود زمینه آلومینا-سیلیس باعث کاهش در رشد بلورهای اکسید روی، جلوگیری از آگلومره شدن و افزایش سطح ویژه کامپوزیت می‌گردد. عملکرد این کامپوزیت‌ها به علت دارا بودن اکسید روی به عنوان فوتوكاتالیست در تخریب و جذب متیل اورانیز به عنوان مدلی از رنگ‌های نساجی مورد استفاده قرار می‌گیرد.

واژه‌های کلیدی:

کامپوزیت سرامیکی، اکسید روی، سل-ژل، سطح ویژه، مورفولوژی، اندازه ذرات.

۱- مقدمه

کاری طولانی [۳] به صورت عمده به عنوان کاتالیست [۴]، سنسورهای گاز [۵]، هیدروژن دار کردن فازی [۶]، جاذب‌های شیمیایی [۷]، پرکننده‌های فعال برای پلاستیک‌ها و جاذب اشعه ماوراء بنفش در وسایل آرایشی به کار می‌روند. امروزه توجه فوق العاده‌ای به برخی از نیمه هادی‌ها مانند نانو سایزهای TiO_2 یا ZnO به عنوان فوتوكاتالیست برای تجزیه آلودگی‌های آلی موجود در آب و هوای تحت اشعه ماوراء بنفش معطوف شده

اکسید روی ماده‌ای با کاربردهای مختلف می‌باشد و استفاده از آن به علت پایداری شیمیایی بالا، ثابت دی الکتریک پایین، ضریب اتصال الکترومکانیک بزرگ و انتقال تابان بالا در سرامیک‌های دی الکتریک، رنگدانه‌ها، کاتالیست‌ها و مواد حساس رواج یافته است [۱]. در استفاده در سنسورهای گازی، این ماده یکی از اولیه ترین مواد کشف شده و به کار رفته در این بخش بوده است [۲]. همچنین نانوذرات اکسید روی با نسبت حجم به سطح بالا، قابلیت جذب اشعه ماوراء بنفش بالا و عمر

قطعات الکتروفعال و سنسورهای الکتروشیمیایی مورد اشاره است. در سال ۲۰۰۸ وانگ و همکارانش نانوذرات ZnO بر پایه SBA_{15} (نوعی سیلیکا) را به روش هم رسوی در شرایط آتراسونیک تهیه کرده و جهت جذب گاز H_2S مورد استفاده قرار دادند [۱۹]. بر طبق این گزارش خاصیت جذبی ZnO به مراتب نسبت به ZnO خالص بیشتر است.

در این تحقیق، ترکیب فازی، مورفولوژی و اندازه کریستال‌های اکسید روی در کامپوزیت سه‌تایی $ZnO-Al_2O_3-SiO_2$ بوسیله آنالیز پراش پرتو ایکس، میکروسکوپ الکترونی روبشی با قابلیت گسترش میدانی و آنالیز حرارتی مورد بررسی قرار گرفت. هدف از ترکیب اکسید روی با سیلیکا-آلومینا، پراکنده کردن فاز اکسید روی در ماتریس آلومینا-سیلیکا و جلوگیری از رشد کردن اکسید روی و در نتیجه افزایش سطح ویژه و کاهش اندازه ذرات اکسید روی است. به عبارت دیگر در اینجا ترکیب کامپوزیتی آلومینا-سیلیکا در نقش یک پایه کاتالیست ظاهر شده و در نتیجه فاز فعال اکسید روی با خواص منحصر به فرد و شناخته شده خود بر روی پایه نشانده می‌شود.

۲- مواد و روش‌ها

۲-۱- روش انجام

در تحقیق حاضر، زمینه $Al_2O_3-SiO_2$ (با نسبت مولار یک به یک) به کمک روش سل-ژل به دست آمد به گونه‌ای که نسبت مولی تتراتیل اورتوسیلیکات، اتانول، آب و اسید هیدروکلریک به ترتیب برابر با ۱، ۲۲، ۱۳، ۷۹ و ۰/۰۰۰۷۹ انتخاب گردید. محلول اتانول و تتراتیل اورتوسیلیکات به مدت ۲ ساعت تحت رفلaks در دمای $75^{\circ}C$ بر روی همزن مغناطیسی قرار گرفت تا به خوبی با یکدیگر مخلوط شده تا یک سل همگن حاصل گردد. همچنین نیترات روی و نیترات آلومینیوم با مقدار اتانول مساوی مصرف شده در محلول تتراتیل اورتوسیلیکات مخلوط و به مدت یک ساعت تحت همزن مغناطیسی قرار گرفت. سپس محلول شامل نیترات روی و نیترات آلومینیوم به محلول تحت رفلaks اضافه شد. سپس مجموعه در دمای $75^{\circ}C$

است [۸]. فتو کاتالیست‌ها که اغلب کاتالیست فتوشیمیایی نیز نامیده می‌شوند، عملکردی نظیر کلروفیل‌ها در فتوسترن دارند. هرچند، نانوذرات اکسید روی به علت سطح ویژه بالا و در نتیجه انژی سطحی بالا، بسیار مستعد به تراکم و آگلومره شدن هستند. بهبود وضعیت تراکمی این ذرات مستلزم بهبود شرایط سطحی آن‌ها می‌باشد. تشکیل کامپوزیت‌های چندگانه همراه با اکسید روی می‌تواند به رفع محدودیت‌های ذکر شده کمک شایانی نماید. در این بین استفاده از ماتریس $Al_2O_3-SiO_2$ به علت اسیدیته قابل قبول و استفاده عمده در کاتالیست‌های هیدروترک‌ها مورد توجه پیشتری قرار گرفته است [۹]. سنتز نانوذرات اکسید روی می‌تواند با روش‌های مختلفی نظیر رسوب همگن [۱۰]، آسیاب‌کاری مکانیکی [۱۱]، سنتز آلی-فلزی [۱۲]، روش ریز موج [۱۳]، اسپری گرم‌ماکافت [۱۴]، تبخیر حرارتی [۱۵] و سنتز مکانیکی انجام گیرد. در سال‌های اخیر روش سل-ژل به عنوان یکی از مهمترین روش‌های آماده سازی اکسیدهای غیرآلی، پدیدار گشته است. مهمترین مزیت استفاده از این روش در مقایسه با روش‌های ذکر شده را می‌توان در دمای فرایند، همگنی شیمیایی، توزیع فازی بسیار یکنواخت‌تر بخصوص در سیستم‌های چندگانه و امکان آماده سازی مواد کریستالی و غیرکریستالی جدید نام برد [۱۶].

تولید کامپوزیت‌های پایه $Al_2O_3-SiO_2$ به روش سل-ژل مبنای بسیاری از تحقیقات دیگر قرار گرفته است. در سال ۲۰۰۵، دووان و همکارانش به بررسی چگونگی آماده‌سازی کامپوزیت $CoO-ZnO-Al_2O_3-SiO_2$ به کمک روش سل-ژل پرداختند [۱۷]. همچنین تارلی و همکارانش سیستم سه‌تایی $SiO_2-Al_2O_3$ را به کمک روش سل-ژل آماده‌سازی کردند [۱۸]. نشان داده شده است که اکسیدهای آلومینیوم و نیوبیوم به صورت کاملاً همگنی در زمینه سیلیس پراکنده گشته و مقاومت در برابر جذب سطحی ظرفیت یون‌های روی ایجاد گشته است. در این بین استفاده از ذرات اکسید روی (ZnO) جهت ترکیب خواص شیمیایی زمینه سیلیس و بالک اکسیدهای فلزی به کمک روش سل-ژل جهت دستیابی به یک زمینه متخلخل غیرفعال کننده در

۲-۲-مشخصه یابی

مخلوط اکسیدها شامل اکسید آلمینیوم، اکسید روی و اکسید سیلیسیم با استفاده از روش هایی که در ادامه اشاره شده‌اند، مشخصه یابی شدند.

۲-۱-آالیز پراش پرتو ایکس (XRD)

تعیین کریستاله یا آمورف بودن کامپوزیت، تشخیص فازی و درجه کریستالی آن و همچنین اندازه دانه‌ها توسط دستگاه آنالیز پراش پرتو ایکس ($\text{Cu K}\alpha$) Philips و به کمک نرم افزار X'PertHighScore صورت گرفت. محدوده پراش (۲۰) ماین ۹۰ درجه انتخاب شد.

۲-۲-آالیز حرارتی

آنالیز حرارتی افتراقی (DTA) در نرخ گرمادهی $8^{\circ}\text{C}/\text{min}$ تا 1000°C توسط دستگاه METTLER TGA/SDTA 851E انجام شد.

۳-۲-میکروسکوپ الکترونی روبشی

ریزساختار کامپوزیت‌های تولیدی به روش سل-ژل توسط SEM TeScan Vega2 مشاهده شد. همچنین از این میکروسکوپ با قابلیت گسل میدانی جهت بررسی دقیق تر ریزساختار و تعیین دقیق اندازه دانه‌ها استفاده گردید.

۴-۲-سطح ویژه

سطح ویژه کامپوزیت‌های کلسینه شده تولیدی، مطابق روش BET و با استفاده از ایزوترم جذب N_2 در دمای ۷۷ درجه کلوین به وسیله دستگاه Belsorp اندازه گیری شد.

۳-نتایج و بحث

شکل ۱ نشان دهنده نتایج منحنی تغییرات وزنی رسوبات خشک شدنی نمونه ZAS ۴۰ می‌باشد. بررسی آنالیز حرارتی نشان می‌دهد که کاهش وزنی شدیدی (۵۰ درصد وزنی) در محدوده دمای

۷۵ به مدت ۱ ساعت تحت رفلکس قرار داده شد. در نهایت به منظور یکواخت سازی و پایدار سازی سل حاصله، سل مورد نظر به مدت ۲۴ ساعت تحت عملیات پیرسازی در دمای اتاق قرار گرفت و سپس در یک آون خشک شد. به منظور انجام فرایند تراکم و ژل شدن، سل مورد نظر در دو مرحله یکی در دمای ۶۰ درجه به مدت ۲۴ ساعت و سپس در دمای ۱۱۰ درجه به مدت ۲۴ ساعت قرار داده شد. در نهایت به منظور تشکیل فازهای نهایی، تمام نمونه‌ها در دمای ۵۰۰ درجه سانتی گراد با نرخ افزایش دمای ۸ درجه سانتی گراد بر دقيقه و به مدت ۱۲ ساعت کلسینه شدند. درصد مولی مواد اولیه به گونه‌ای اندازه گیری شد که پس از کلسینه کردن، ترکیب مواد به صورت ۳۰، ۴۰، ۵۰ و ۷۰ درصد وزنی اکسید روی (با نسبت یک به یک اکسید آلمینا و اکسید سیلیسیم) به دست آید. به منظور مقایسه، کامپوزیت $\text{Al}_2\text{O}_3\text{-SiO}_2$ با نسبت وزنی برابر و ZnO خالص به طریق مشابه بدون اضافه کردن تتراتیل اورتوسیلیکات و نیترات آلمینا از روش سل-ژل ساخته شد. همچنین به منظور بررسی بیشتر فازهای تشکیل شده در دمای بالاتر و پایداری محصولات واکنش، نمونه شامل ۷۰ درصد وزنی اکسید روی علاوه بر بررسی در دمای 500°C ، تحت کلسیناسیون در دمای 650°C و 850°C قرار گرفت. جدول ۱ نشان دهنده ترکیب شیمیایی نمونه‌های تحت بررسی می‌باشد.

جدول (۱): ترکیب شیمیایی نمونه‌های آماده شده (درصد وزنی).

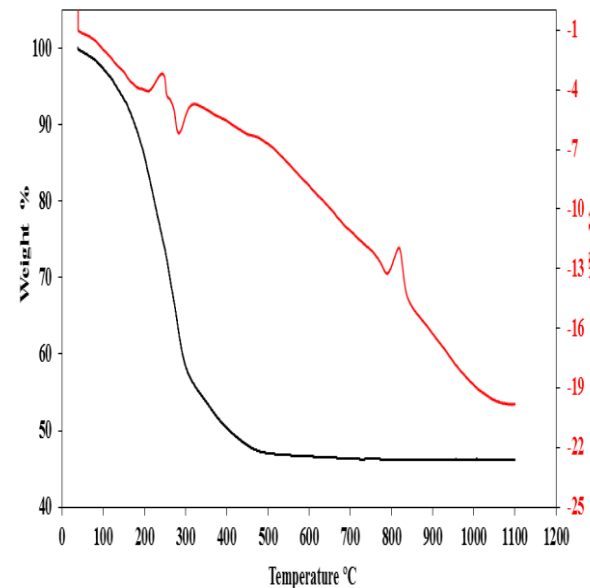
کد نمونه	ترکیب شیمیایی		
	سیلیس (%wt)	آلومینا (%wt)	اکسید روی (%wt)
۱۰۰Z	۰	۰	۱۰۰
۷۰ZAS	۱۵	۱۵	۷۰
۵۰ZAS	۲۵	۲۵	۵۰
۴۰ZAS	۳۰	۳۰	۴۰
۳۰ZAS	۳۵	۳۵	۳۰
۵۰AS	۵۰	۵۰	۰

عنوان حداقل دمای کلسیناسیون انتخاب گردید. همچنین به منظور انجام کامل واکنش‌ها و کریستاله شدن فازهای تشکیل شده تمام نمونه‌ها در دمای بیشینه و به مدت ۱۲ ساعت نگهداری شدند.

شکل ۲ نشان دهنده نتایج آنالیز پراش اشعه ایکس نمونه‌های مختلف کلسینه شده در دمای 500°C می‌باشد. الگوی پراش نمونه روی خالص (Z) در شکل ۲-۱ نشان دهنده پیک‌های با شدت اکسید روی با ساختار ورتزیت است. الگوی پراش نمونه AS (شکل ۲-الف) نشان دهنده عدم تشکیل فاز کریستالی مشخصی می‌باشد به طوری که تنها یک پیک آمورف در زاویه 25° درجه ظاهر شده است. می‌توان نتیجه گرفت که سیلیکا به دلیل ساختار آمورف خود [۲۱]، از کریستالی شدن اکسید آلومینیوم جلوگیری می‌کند. بنابراین اکسید آلومینیوم با پیک‌های پهن و عریض شاخه شده [۲۲] نمی‌تواند در الگوی پراش ظاهر شود. شکل ۲-ب، ۲-ج، ۲-د و ۲-ه به ترتیب الگوی پراش پرتو ایکس نمونه‌های ZAS، ZAS، ZAS و ZAS را نشان می‌دهند. الگوی پراش نمونه‌های ZAS و ZAS هیچ گونه فاز کریستالی مشخصی را نشان نمی‌دهند. با افزایش مقدار اکسید روی در مقدار AS، پیک‌های فاز اکسید روی ظاهر می‌شود. با افزایش بیشتر مقدار اکسید روی در نمونه‌های ZAS همه پیک‌های اکسید روی با ساختار ورتزیت ظاهر می‌شود. این چنین تغییر در شدت کریستالی شدن در گذشته توسط محققان دیگر نیز گزارش شده است [۲۳]. به هر حال عدم ظهور پیک مشخصی مربوط به فاز آلومینا را می‌توان به ضعیف بودن پیک آلومینا و نیز وجود ماده کاملاً آمورف فاز سیلیس نسبت داد. نتایج پراش اشعه ایکس از نمونه‌های کلسینه شده در دمای 500°C ، نتایج آنالیز حرارتی به ویژه منحنی TG را تایید می‌کند.

همچنین با توجه به شکل ۲ و طبق رابطه شرر، اندازه دانه نمونه-های ZAS و ZAS در دمای 100°C به ترتیب 500 nm ، 26 nm و 39 nm گزارش می‌شود. مشاهده می‌شود که اندازه نانوکریستال‌های اکسید روی نسبت به نمونه خالص کاهش می-

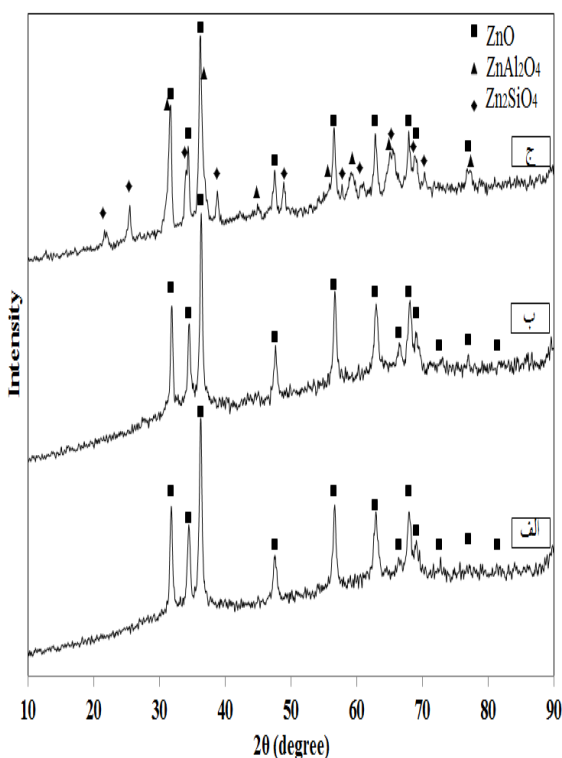
۱۰۰ تا 500 درجه سانتی گراد رخ می‌دهد. این کاهش وزن مربوط به خروج آب جذب شده در سطح نمونه می‌باشد. همچنین تغییرات گرمایی نمونه ZAS نشان دهنده یک پیک گرمایی در حدود 250°C می‌باشد. با توجه به این که تجزیه مواد رسوب داده شده و خروج آب کریستالی از نمونه، فرآیندهایی گرمگیر می‌باشد پس، علت ظاهر شدن چنین پیک گرمایی مربوط به خروج شاخه اتوکسی روی زنجیره‌های Si-O-Si می‌باشد. با توجه به اینکه فرایند سوختن مواد آلی موجود در نمونه یعنی شاخه‌های اتوکسی گرمایی باشد، این پیک مشاهده شده است [۲۰]. پیک گرمگیر ظاهر شده در دمای 300°C در منحنی تغییرات گرمایی، تایید کننده کاهش وزن مشاهده شده در منحنی تغییرات گرمایی است و بطور دقیق تر می‌توان آن را به تجزیه هیدروکسید روی و هیدروکسید آمولینیوم مربوط دانست. اما پیک گرمایی محسوس دیگر که در دمای حدود 810°C رخ داده است احتمالاً ناشی از تشکیل ترکیبات فرعی بین محصولات واکنش مربوط می‌باشد.



شکل (۱): منحنی آنالیز حرارتی رسوبات خشک شدنی نمونه ZAS

در شکل ۱ و با توجه به منحنی TG، از آنجا که در دماهای بالاتر از 500°C هیچ کاهش وزنی مشاهده نمی‌شود، دمای 500°C به

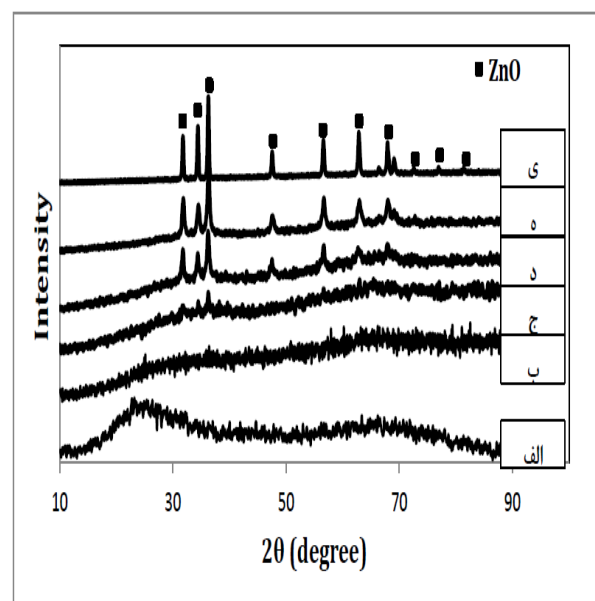
ظاهر شده در منحنی DTA را کاملاً تایید می‌کند. همچنین با توجه به شکل ۳ و طبق رابطه شرر، اندازه بلورکهای اکسید روی نمونه AS در دماهای 70°C , 500°C , 650°C و 850°C به ترتیب 29 , 26 و 36 نانومتر گزارش می‌شود. مشاهده می‌شود که با افزایش دما، اندازه دانه‌ها در ابتدا کاهش و سپس با رسیدن به بیشینه دمای 850°C دوباره افزایش می‌یابد. نرخ رشد ذرات در دماهای کلسینه کردن پایین بسیار کم بوده و با افزایش دما این نرخ افزایش می‌یابد. همچنین با افزایش دمای کلسینه کردن پیک‌های پراش تیزتر شده است که دلیلی بر یکپارچگی ریزساختار است [۲۴].



شکل (۳): الگوی پراش پرتو ایکس از نمونه 70-ZAS در دماهای: (الف): 50°C , (ب): 650°C و (ج): 850°C . درجه سانتی گراد

شکل ۴ تصاویر تهیه شده توسط SEM را به همراه آنالیز EDS از نمونه‌های 100-Z (شکل ۴-الف) و 50-AS (شکل ۴-ب) که در دماهای 500°C کلسینه شده‌اند، نشان می‌دهد. اکسید روی با کریستال‌های هگزاگونال رشد یافته به خوبی در نمونه 100-Z

یابند.

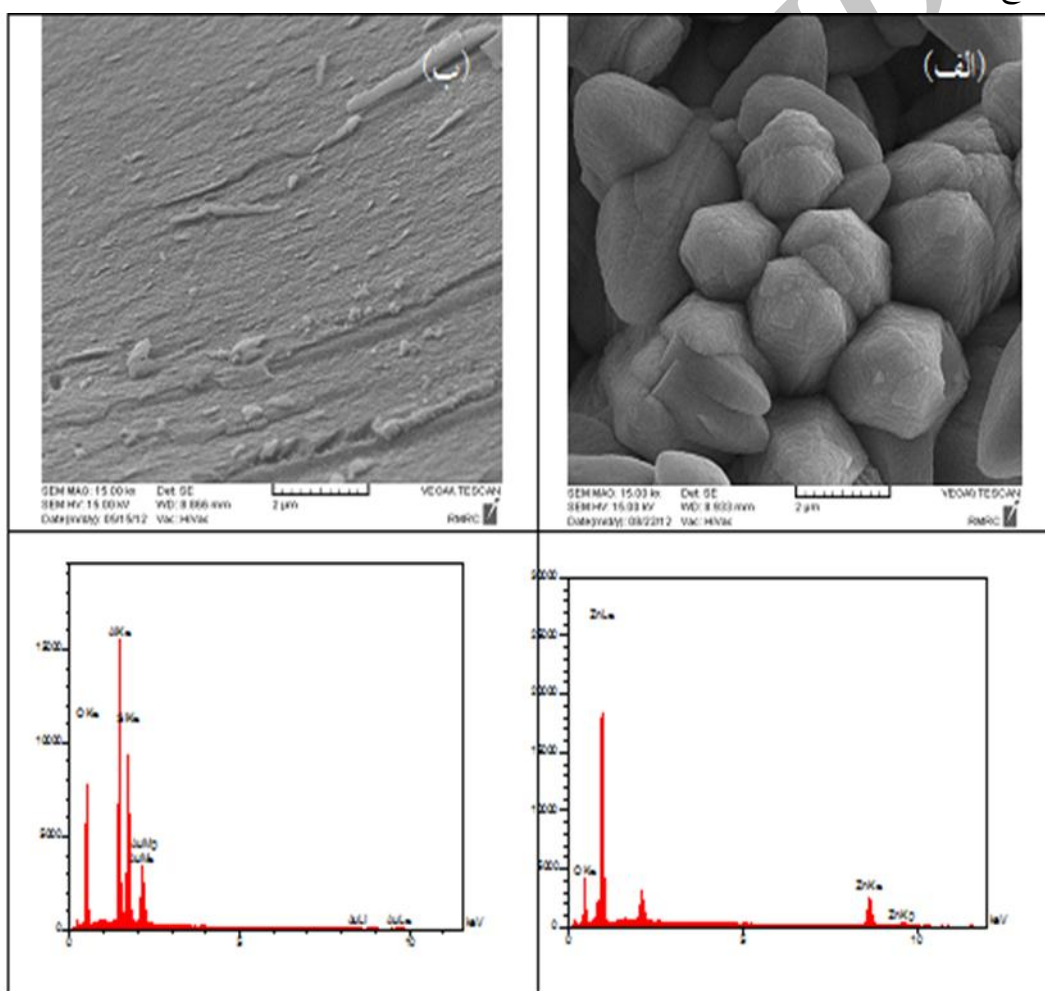


شکل (۲): الگوی پراش اشعه ایکس در دماهای ثابت از نمونه‌های: (الف): 100-Z , (ب): 50-AS , (ج): 50-ZAS , (د): 40-ZAS , (ی): 70-ZAS

به منظور بررسی بیشتر فازهای تشکیل شده در دماهای بالاتر و پایداری محصولات واکنش، نمونه 70-ZAS تحت کلسیناسیون در دماهای بالاتر و سپس آنالیز پراش اشعه ایکس قرار گرفت. شکل ۳ نتایج الگوی پراش از نمونه 70-ZAS را در دماهای 70°C , 500°C , 650°C و 850°C نشان می‌دهد. همانطور که نشان داده شده است تا دمای 650°C تنها فاز کریستالی قبل آشکار، فاز کریستالی اکسید روی باشد. با افزایش دما تا 850°C تغییرات ساختاری محسوسی اتفاق می‌افتد. در این دما علاوه بر فاز اکسید روی، دو فاز فرعی دیگر شامل Zn_2SiO_4 و ZnAl_2O_4 ظاهر می‌شود که ناشی از برهمکنش بین ترکیب اکسید روی و فازهای سیلیکا و آلومینا می‌باشد. لازم به ذکر است ظاهر شدن فاز ZnAl_2O_4 می‌تواند بر وجود فاز آلومینا با وجود عدم ظاهر شدن به دلیل کریستالی نشدن در دماهای پایین گواهی دهد. بنابراین همانطور که در قسمت قبل بیان شد، الگوی پراش اشعه ایکس از نمونه کلسینه شده در دمای 850°C پیک گرمایی

ایکس مربوط به این نمونه را تایید می‌کند. اما نکته قابل توجه در ارتباط با نمونه ۵۰AS، وجود عناصر AL و Si در طیف EDS مربوطه می‌باشد. این در حالی است که در طیف XRD هیچ فاز کریستالی آشکاری مشاهده نشده است. بنابراین وجود عنصر AL در طیف EDS مربوط به حضور این عنصر در نمونه می‌باشد و عدم ظاهر شدن فاز آلومینا می‌تواند به کریستاله شدن بسیار ضعیف این فاز در اثر تاثیرپذیری از ساختار آمورف سیلیکا باشد.

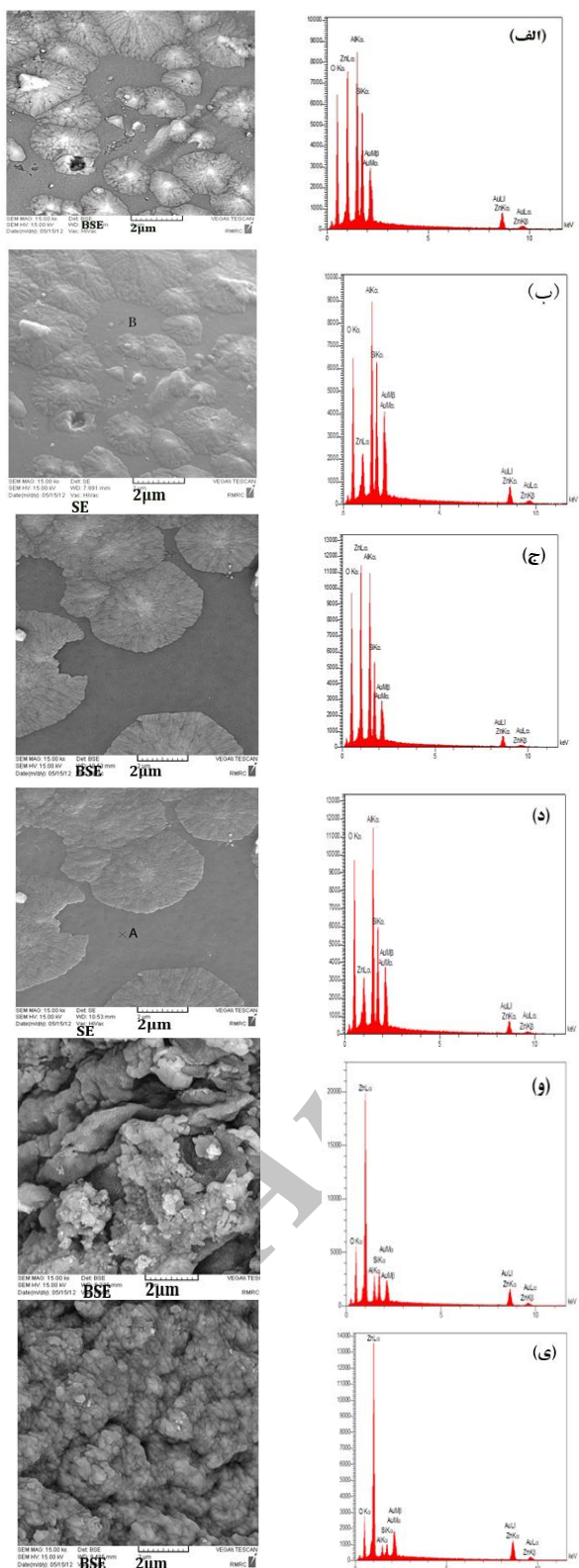
مشهود است. این کریستالهای هگزاگونالی که به صورت متراکم در کار یکدیگر قرار گرفته‌اند، دارای قطری در حدود ۱ تا ۲ میکرومتر می‌باشند. تشکیل چنین کریستالهای هگزاگونالی و کمی میله‌ای شکل به روش سل-ژل توسط دیگر محققان نیز گزارش شده است [۲۵]. آنالیز عنصری EDS نیز وجود عناصر روی و اکسیژن را به خوبی تایید می‌کند. تصویر SEM از نمونه ۵۰AS نشانگر تشکیل یک ساختار بسیار متراکم از ترکیب آلومینا و سیلیکا است. این شکل آمورف در نمونه ۵۰AS، عدم آشکار شدن هیچ گونه فاز کریستالی در الگوی پراش اشعه



شکل(۴): تصویر SEM/EDX (الف): نمونه اکسید روی خالص و (ب): نمونه کامپوزیت آلومینا- سیلیکا

ی) که در دمای ۵۰۰°C کلسینه شده‌اند تحت آنالیز SEM و EDS قرار گرفتند. همچنین به دلیل حضور کامپوزیت سه تایی از

در این راستا نمونه‌های ۳۰ZAS (شکل ۵-الف و ب)، ۴۰ZAS (شکل ۵-ج و د)، ۵۰ZAS (شکل ۵-و) و ۷۰ZAS (شکل ۵-

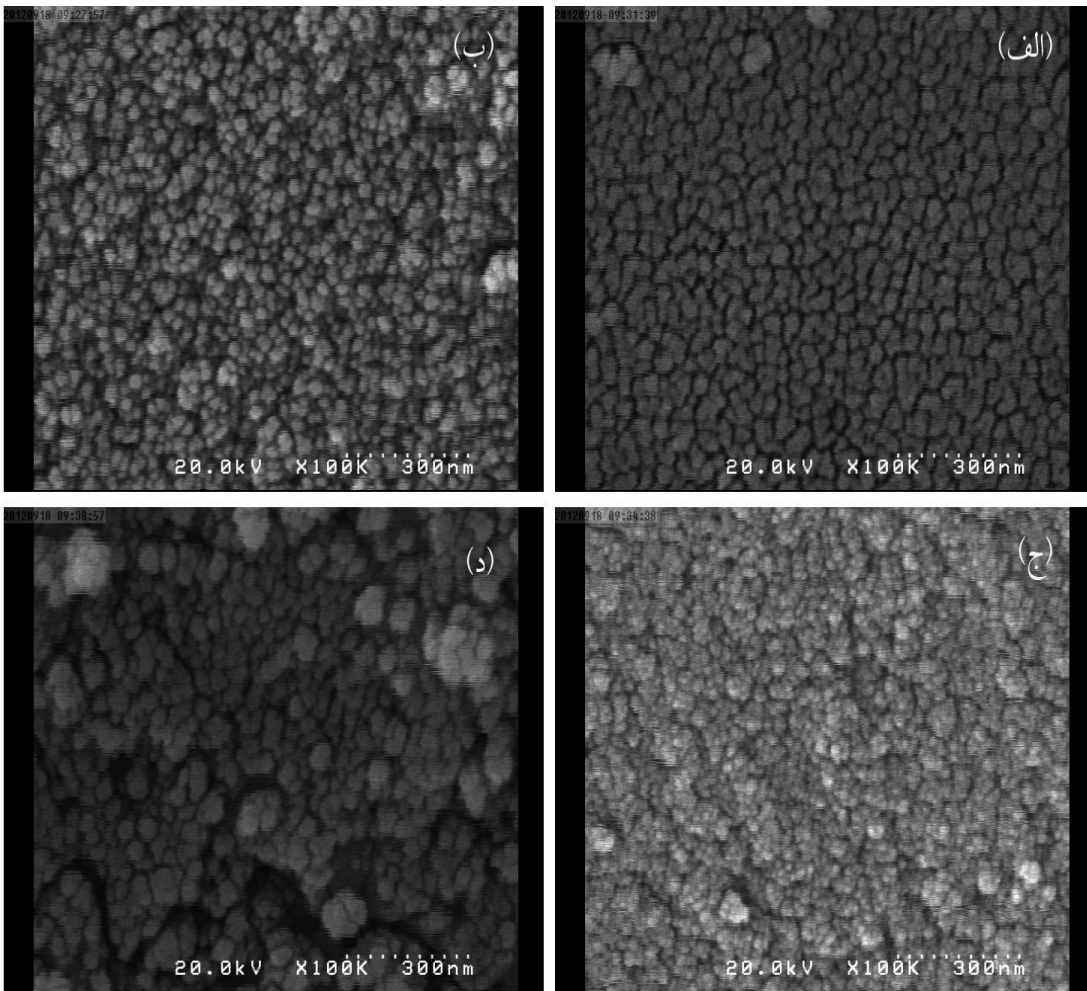


شکل (۵): تصاویر نمونه کامپوزیت اکسید روی-آلومینا-سیلیکا حاوی مقدار

(الف و ب): ۳۰٪ درصد، (ج و د): ۵۰٪ درصد و (ه و ی): ۷۰٪ درصد

اکسید روی

ترکیبات اکسید روی، آلومینا و سیلیکا، نمونه‌ها توسط الکترون‌های برگشتی تحت آنالیز SEM قرار گرفتند. بنابراین به دلیل اختلاف در عدد اتمی عنصر Zn، با عناصر Al و Si، نقاط روشن-تر نمایانگر تمرکز بیشتر اکسید روی می‌باشد. به هر حال تصاویر SEM از نمونه‌های ۷۰٪ ZAS، ۴۰٪ ZAS، ۳۰٪ ZAS و ۵۰٪ AS از مورفولوژی کاملاً متفاوتی از تصاویر SEM از نمونه‌های ۱۰٪ Z و ۵٪ AS است. تصاویر گرفته شده از هر دو نمونه کامپوزیتی اکسید روی-آلومینا-سیلیکا با ۳۰٪ و ۴۰٪ درصد وزنی اکسید روی نشان دهنده مورفولوژی نیلوفر-مردابی^۱ بوده، در اینجا با مقایسه تصاویر حاصل از الکترون‌های ثانویه و برگشتی می‌توان اشاره کرد که اکسید روی بیشتر در مناطق تمرکز تنش (مناطق پر انرژی‌تر)، نوک تیز قرار گرفته، با دور شدن از این مرکز مقدار اکسید روی کمتر می‌شود و در اطراف آن‌ها توده-سیلیس-آلومینا وجود دارد. با توجه به شکل (شکل ۵-الف و ۵-ج-د) که EDS سطحی و نقطه‌ای از این کامپوزیت‌ها می‌باشد، مشاهده می‌شود که شدت Zn در زمینه آلومینا-سیلیس کاهش یافته است که این نتایج را تایید می‌کند. مورفولوژی نیلوفری متخلخل مانند ترکیب در نمونه‌های ۴۰٪ ZAS، ۳۰٪ ZAS و ۵۰٪ ZAS با افزایش مقدار اکسید روی در نمونه‌های ۷۰٪ ZAS، ۴۰٪ ZAS، ۳۰٪ ZAS، ۵۰٪ ZAS و ۷۰٪ ZAS تمايل به تخلخل کمتر و ساختار متراکم‌تری می‌کند. همچنین نتایج حاصل از بررسی به کمک میکروسکوپ الکترونی روبیشی با قابلیت گسیل میدانی (شکل ۶) نشان می‌دهد که اندازه ذرات اکسید روی در نمونه‌های (شکل ۶-الف)، (شکل ۶-ب)، (شکل ۶-ج) و (شکل ۶-د) نانومتر می‌باشد.



شکل (۶): تصاویر میکروسکوپ الکترونی رویشی (FESEM) نمونه‌های: (الف): ۳۰٪ ZAS، (ب): ۴۰٪ ZAS، (ج): ۵۰٪ ZAS و (د): ۷۰٪ ZAS

(نمونه Z₁₀₀) دارای کمترین سطح ویژه می‌باشد. اما ترکیب اکسید روی با آلومینا-سیلیکا موجب افزایش سطح ویژه می‌گردد. افزایش شدید سطح ویژه در کامپوزیت‌های اکسید روی-آلومینا-سیلیکارا می‌توان به تاثیر فاز آلومینا-سیلیکا بر رشد و مورفولوژی ذرات اکسید روی در جلوگیری از رشد شدید و آگلومرۀ شدن ذرات اکسید روی نسبت داد. بنابراین نتایج اندازه‌گیری نتایج سطح ویژه به خوبی مشاهدات SEM را تایید می‌کند. ولی این مقدار با افزایش مقدار اکسید روی به مقادیر بیش از ۴۰ درصد وزنی کاهش می‌یابد. با افزایش درصد وزنی اکسید روی و با توجه به نتایج حاصل از تولید نمونه Z₁₀₀، با افزایش بیشتر درصد روی به دلیل رشد بیش از حد هگزاگونال‌های

در نهایت می‌توان گفت که قرار گیری اکسید روی در زمینه آلومینا-سیلیکا موجب افزایش تخلخل و کاهش اندازه ذرات اکسید روی می‌شود. به عبارتی پایه کاتالیست آلومینا-سیلیکابا عث جلوگیری از رشد ترجیحی اکسید روی و در نتیجه درشت شدن و آگلومرۀ شدن شدید آن خواهد شد. طیف‌های به دست آمده از آنالیز EDS از چهار نمونه Z₇₀، Z₅₀، Z₄₀ و Z₃₀ نیز نشانگر وجود هر سه عنصر Al، Zn و Si در ترکیبات است. به منظور اندازه‌گیری سطح ویژه، تمام نمونه‌ها تحت آنالیز سطح ویژه BET قرار گرفتند. نتایج به دست آمده در جدول ۲ ارائه شده است. نتایج نشان می‌دهند که نمونه اکسید روی خالص

- [2] T. Seiyama & A. Kato, "A new detector for gaseous components using semiconductor thin film", *Analytical Chemistry*, Vol. 34, pp. 1502–1503, 1962.
- [3] D. H. Yu, R. X. Cai & Z. H. Liu, "Studies on the photodegradation of rhodamine dyes on nanometer-sized zinc oxide", *Spectrochimica Acta A*, Vol. 60, pp. 1617–1624, 2004.
- [4] M. L. Curridal, R. Comparelli, P. D. Cozzli, G. Mascolo & A. Agostiano, "Colloidal oxide nanoparticles for the photocatalytic degradation of organic dye", *Materials Science Engineering C*, Vol. 23, pp. 285–289, 2003.
- [5] H. M. Lin, S. J. Tzeng, P. J. Hsiau & W. L. Tsai, "Electrode effects on gas sensing properties of nanocrystalline zinc oxide", *Nanostructural Materials*, Vol. 10, pp. 465–477, 1998.
- [6] G. M. Hamminga, G. Mul & J. A. Moulijn, "Real-time in situ ATR-FTIR analysis of the liquid phase hydrogenation of butyrolactone over Cu-ZnO catalysts: a mechanistic study by varying lactone ring size", *Chemical Engineering Science*, Vol. 59, pp. 5479–5485, 2004.
- [7] R. Turton, D. A. Berry, T. H. Gardner & A. Miltz, "Evaluation of zinc oxide sorbents in a pilot-scale transport reactor: sulfidation kinetics and reactor modeling", *Industrial & Engineering Chemistry Research*, Vol. 43, pp. 1235–1243, 2004.
- [8] K. Li & W. T. Wu, "Synthesis of monodispersed ZnO nanoparticles and their luminescent properties", *Key Engineering Materials*, Vol. 247, pp. 405–410, 2003.
- [9] J. Scherzer & A. J. Gruia, "Hydrocracking Science and Technology", Marcel Dekker, New York, 1996.
- [10] H. Kim, W. C. Choi, H. Y. Kim, Y. Kang & Y. K. Park, "Preparation of mono-dispersed mixed metal oxide micro hollow spheres by homogeneous precipitation in a micro precipitator", *Powder Technology*, Vol. 153, pp. 166–175, 2005.
- [11] L. C. Damonte, L. A. Mendoza Zélis, B. MaríSoucase & M. A. Hernández Fenollosa, "Nanoparticles of ZnO obtained by mechanical milling", *Powder Technology*, Vol. 148, pp. 15–19, 2004.
- [12] M. L. Kahn & M. Monge, "Size and shape-control

اکسید روی و کاهش اثر زمینه آلومینا-سیلیکا سطح ویژه به شدت کاهش می‌یابد.

جدول ۲: نتایج اندازه گیری های سطح ویژه

نمونه	سطح ویژه (m^2/g) BET
۱۰۰Z	۰/۳۸
۵۰ZAS	۹۲/۶۳۵
۵۰ZAS	۱۳۱/۴۵
۴۰ZAS	۱۴۷/۱۲
۳۰ZAS	۹۴/۹۲۹
۵۰AS	۵۰/۷۹۳

۴- نتیجه گیری

در این تحقیق پودر کامپوزیت اکسید روی-آلومینا-سیلیکا به طور موفقیت آمیزی به روش سل-ژل تولید شد. ذرات اکسید روی در ریزساختار سیستم سه تایی Si-Al-Zn در مقیاس نانومتر کسب گردید. نتایج نشان داد که افزایش دما تا حدود 85°C موجب برهمکنش اکسید روی با دوفاز آلومینا و سیلیکا و تشکیل محصولات فرعی Zn_2SiO_4 و ZnAl_2O_4 می‌شود. همچنین ترکیب کردن اکسید روی با ماتریس آلومینا-سیلیکا تا مقادیر ۴۰ درصد موجب کاهش ابعاد ذرات اکسید روی، جلوگیری از آگلomerه شدن و افزایش سطح ویژه می‌شود.

۵- تشکر و قدردانی

با تشکر از استاد و کارمندان محترم دانشگاه آزاد اسلامی واحد نجف آباد که در ارائه این مقاله اینجانب را راهنمایی نمودند.

۶- مراجع

- [1] X. Lou, S. Hesheng & S. Yusheng, "Development of ZnO series ceramic semiconductor gas sensors, Transducer and Microsystem Technology, Vol. 3, pp. 1–5, 1991.

- Analytical Atomic Spectrometr, Vol. 21, pp. 1305–1313, 2006.
- [20] X. Wang, T. Sun, J. Yang, L. Zhao & J. Jia, “Low-temperature H₂S removal from gas streams with SBA-15 supported ZnO nanoparticles”, Chemical Engineering Journal, Vol. 142, pp. 48–55, 2008.
- [21] CH. M. Whang, CH. S. Yeo & Y. H. Kim, “Preparation and Characterization of Sol-Gel Derived SiO₂-TiO₂-PDMS Composite Films”. Bull. Korean Chem. Soc, Vol 22, pp 1366-1370, 2001.
- [22] V. A. Radzig & A. A. Ischenko, “Carbon in silica”, Kinetics and Catalysis, Vol. 52, pp. 316–329, 2011.
- [23] R. KatsobashviliYa, N. S. Kurkova & M. M. Getsiu, “Interrelationship of the phase composition of aluminum hydroxide and the physical properties of active aluminum oxide”, Bulletin of the Academy of Sciences of the USSR Division of Chemical Science, Vol. 19, pp. 1003–1008, 1970.
- [24] B. Rosenthal & S. H. Garofalini, “Molecular dynamics simulation of amorphous zinc silicate”, Journal of Non-Crystalline Solids, Vol. 87, pp. 254–262, 1986.
- [25] A. A. Rohani, A. Salehi, M. Tabrizi, S. A. Manafi & A. Fardafshari, “Synthesis of ZnO Nanostructures via Gel-casting Method”, World Academy of Science, Engineering and Technology, Vol. 47, pp. 683–686, 2010.
- [26] C. Y. Tsay & W. C. Lee, “Effect of dopants on the structural, optical and electrical properties of sol-gel derived ZnO semiconductor thin films”, Current Applied Physics, Vol. 13, pp. 60–65, 2013.
- of crystalline zinc oxide nanoparticles: a new organometallic synthetic method”, Advanced Functional Materials, Vol. 3, pp. 458–468, 2005.
- [13] S. Komarneni, M. Bruno & E. Mariani, “Synthesis of ZnO with and without microwaves”, Materials Research Bulletin, Vol. 35, pp. 1843–1847, 2000.
- [14] X. Y. Zhao, B. C. Zheng, C. Z. Li & H. C. Gu, “Acetate-derived ZnO ultrafine particles synthesized by spray pyrolysis”, Powder Technology, Vol. 100, pp. 20–23, 1998.
- [15] Z. R. Dai, Z. W. Pan & Z. L. Wang, “Novel nanostructures of functional oxides synthesized by thermal evaporation”, Advanced Functional Materials, Vol. 13, pp. 9–24, 2003.
- [16] S. Y. Chu, T. M. Yan & S. L. Chen, “Characteristics of sol-gel synthesis of ZnO-based powders”, Journal of Materials Science Letters, Vol. 19, pp. 349–352, 2000.
- [17] C. R. T. Tarley, A. F. Barbosa, M. G. Segatelli, E. C. Figueiredo, & P. O. Luccas, “Highly improved sensitivity of TS-FF-AAS for Cd(II) determination at ng L⁻¹ levels using a simple flow injection minicolumn preconcentration system with multiwall carbon nanotubes”, Journal of Analytical Atomic Spectrometry, Vol. 21, , pp. 1305-1313, 2006.
- [18] X. L. Duan, D. R. Yuan, D. Y. Pan, C. N. Luan, H. Q. Sun, D. Xu & M. K. Lv, “Preparation of CoO-ZnO-Al₂O₃-SiO₂ monolithic gel by sol-gel method”, Journal of Materials Science, Vol. 40,pp. 2975 – 2977, 2005.
- [19] C. R. T. Tarley, A. F. Barbosa, M. G. Segatelli, E. C. Figueiredo & P. O. Luccas, “Highly improved sensitivity of TS-FF-AAS for Cd(ii) determination at ng L⁻¹ levels using a simple flow injection minicolumnpreconcentration system with multiwall carbon nanotubes”, Journal of

- پی نوشت

- [1] Lotus-Lagoon